

環境と結合した有限サイズ Dicke 模型 における量子相転移

今井 良輔, 山中 由也

早稲田大学 基幹理工学研究科

京都大学基礎物理学研究所・研究会
「熱場の量子論とその応用」
August 28, 2017

1 導入

- Dicke 模型について
- 粒子数 $N \rightarrow \infty$ 極限での相転移
- 超放射相転移の実時間観測実験

2 粒子数 N 有限での模型の性質

- 基底状態について厳密にわかること
- $\frac{\omega_0}{\lambda} \ll 1$ での基底状態と第一励起状態

3 散逸と測定の影響

4 まとめ

Dicke model

Cavity QED の模型のひとつ

- N 個の同種 2 準位原子 $\hat{J}^{(1,2,3)} = \frac{1}{2} \sum_{k=1}^N \hat{\sigma}_k^{(1,2,3)}$, $J = N/2$
- 共振器モードの光子 \hat{a}
- 電気双極子相互作用で結合 (強さ λ)

$$\hat{H} = \omega_0 \hat{J}^{(3)} + \omega \hat{a}^\dagger \hat{a} + \frac{\lambda}{\sqrt{2J}} [(\hat{a} + \hat{a}^\dagger)(\hat{J}^+ + \hat{J}^-)]$$

対称性 $\Pi^\dagger \hat{H} \Pi = \hat{H}$, $\Pi := \exp\{i(\hat{a}^\dagger \hat{a} + \hat{J}^{(3)} - J)\pi\}$

\hat{H} の固有状態 $|\Psi_l\rangle$

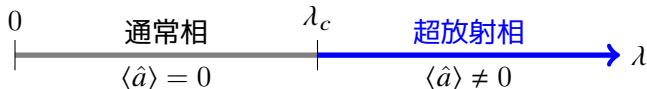
$$\Pi |\Psi_l\rangle = |\Psi_l\rangle \quad \text{or} \quad \Pi |\Psi_l\rangle = -|\Psi_l\rangle$$

光子数 + 励起原子数 の偶奇 (パリティ, Z_2) 対称性をもつ

粒子数 $N \rightarrow \infty$ 極限：超放射相転移

粒子数 $N \rightarrow \infty$ 極限の解析

- 有限温度の解析 [Hepp (1973), Wang (1973)]
- 絶対零度 [Emary, PRE (2003)] → 量子相転移



Emary (2003) の証明の流れ

- ① Holstein-Primakoff 変換 ($\hat{J}^{(\alpha)}$ を Boson \hat{b} に)
- ② $\alpha, \beta \neq 0$ を用いて Boson 変位 $\hat{a} = \alpha + \hat{c}$, $\hat{b} = \beta + \hat{d}$
- ③ \hat{H} が Fock 空間で対角的になるように Bogoliubov 変換 → 準粒子
- ④ 準粒子のエネルギー > 0 の条件から相境界を得る

基底状態 $|\Psi_0\rangle$ がパリティ ± 1 をもつとする。関係 $\Pi \hat{a} \Pi^\dagger = -\hat{a}$ から

$$\langle \Psi_0 | \hat{a} | \Psi_0 \rangle = -\langle \Psi_0 | \Pi^\dagger \hat{a} \Pi | \Psi_0 \rangle = -(\pm 1)^2 \langle \Psi_0 | \hat{a} | \Psi_0 \rangle$$

$$\rightarrow \langle \Psi_0 | \hat{a} | \Psi_0 \rangle = 0 \quad \text{通常相}$$

対偶 … 超放射相の基底状態 $|\psi_0\rangle$ は Π の固有状態ではない

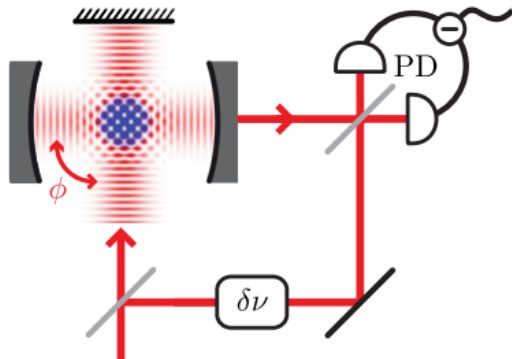


超放射相 = 対称性の自発的破れ (SSB) の発現した相

超放射相転移の実時間観測

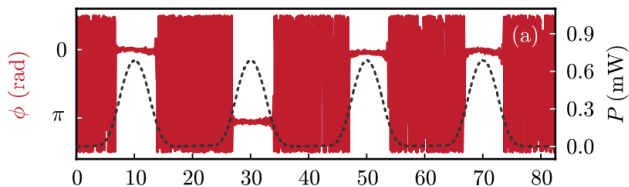
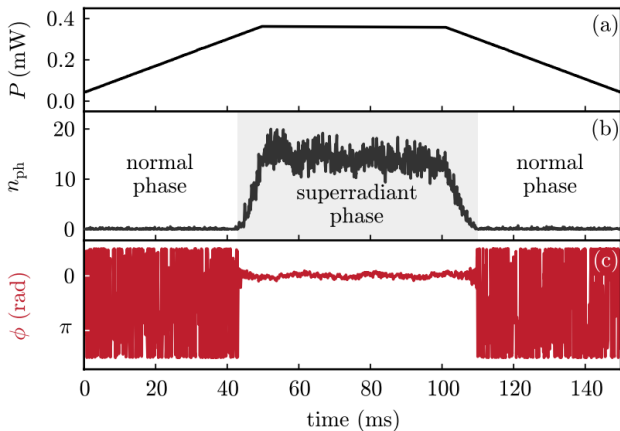
2011年の K. Baumann [PRL **107**, 140402 (2011)] による実験

- 冷却原子 BEC (2 準位原子集団としての役割)
+ 光学 Cavity による単一モード光子
- 駆動光、散逸あり (バランス型ヘテロダイン測定)
- 駆動光の強さ $\propto \lambda$ 、 Z_2 対称性破れ (超放射転移) を実時間観測



[K. Baumann PRL **107**, 140402 (2011)]

[K. Baumann PRL **107**, 140402 (2011)]



粒子数 $N \rightarrow \infty$ での理解で十分？

- 原子数 $N \simeq 2 \times 10^5 < \infty$
- 有限サイズで SSB が起きない例: 量子 Ising model
- 開放系としての影響は？

そこで

**粒子数 N 有限での Dicke 模型の性質を調べ
実験との対応について考察する**

量子相転移現象のより深い理解へ繋げたい

基底状態について厳密にわかること

- いくつかの具体的な表示をとる
- Perron-Frobenius 定理、変分的な操作、等により

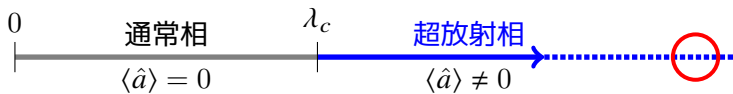
λ の大小に関わらず基底状態のパリティは 1 で縮退なし



有限 N の基底状態は SSB を起こしていない

- 実験 (有限 N) の解釈？

$\frac{\omega_0}{\lambda} \ll 1$ での基底状態



2 軸で $\pi/2$ 回転するユニタリ変換 $U := \exp\left\{i\frac{\pi}{2}\hat{J}^{(2)}\right\}$ で変換

$$\hat{H} = -\frac{\omega_0}{\lambda}\hat{J}^{(1)} + \frac{\omega}{\lambda}\hat{a}^\dagger\hat{a} + \sqrt{\frac{2}{J}}(\hat{a} + \hat{a}^\dagger)\hat{J}^{(3)}$$

この性質を調べていく

$\frac{\omega_0}{\lambda} = 0$ のとき

$$\left[\hat{J}^{(3)}, \hat{H}\right] = \left[\hat{a}^\dagger\hat{a}, \hat{H}\right] = 0 \rightarrow \text{固有状態は } \hat{J}^{(3)}, \hat{a}^\dagger\hat{a} \text{ の同時固有状態}$$

$\hat{J}^{(3)}$ の固有値 m の固有空間中では

$$\hat{h}_m = \frac{\omega}{\lambda} \hat{a}^\dagger \hat{a} + \sqrt{\frac{2}{J}} (\hat{a} + \hat{a}^\dagger) m = \frac{\omega}{\lambda} \hat{a}_m^\dagger \hat{a}_m - \frac{2m^2 \lambda}{\omega J}$$

$$\hat{a}_m = \hat{a} + \sqrt{\frac{2}{J}} \frac{m \lambda}{\omega}$$

基底状態は固有値 $\pm J$ の固有空間に属する

$\hat{a}_m |0_m\rangle = 0$ となる状態を用いて書くと

$$\left| \Psi_0^{(+J)} \right\rangle = |0_{+J}\rangle | +J \rangle, \quad \left| \Psi_0^{(-J)} \right\rangle = |0_{-J}\rangle | -J \rangle$$

の2つ。それぞれコヒーレント状態

$$\hat{a} \left| \Psi_0^{(+J)} \right\rangle = -\frac{\sqrt{2J}\lambda}{\omega} \left| \Psi_0^{(+J)} \right\rangle, \quad \hat{a} \left| \Psi_0^{(-J)} \right\rangle = \frac{\sqrt{2J}\lambda}{\omega} \left| \Psi_0^{(-J)} \right\rangle$$

$\omega_0/\lambda = 0$ での基底状態は2重に縮退していて
それぞれSSBを示す

$0 < \frac{\omega_0}{\lambda} \ll 1$ のとき

$\frac{\omega_0}{\lambda} = 0$ から摂動として $0 < \frac{\omega_0}{\lambda} \ll 1$ を加えると、基底状態 $|\Psi_0\rangle$ は

$$|\Psi_0\rangle \simeq \frac{1}{\sqrt{2}} \left[|\Psi_0^{(-J)}\rangle + |\Psi_0^{(+J)}\rangle \right] + \mathcal{O}\left(\frac{\omega_0}{\lambda}\right)$$

となる。(∵ 基底状態のパリティは 1)

第一励起状態は

$$|\Psi_1\rangle \simeq \frac{1}{\sqrt{2}} \left[|\Psi_0^{(-J)}\rangle - |\Psi_0^{(+J)}\rangle \right] + \mathcal{O}\left(\frac{\omega_0}{\lambda}\right)$$

エネルギーギャップの見積もり

摂動計算の結果:

$$|\Psi_0\rangle = \sum_m \int dx \psi_m(x) |m, x\rangle, \quad \psi_m(x) \in \mathbb{R} \geq 0$$

$$\psi_{\frac{1}{2}}(x) = O\left(\left(\frac{\omega_0}{\lambda}\right)^{J-1/2}\right), \quad \psi_{-\frac{1}{2}}(x) = O\left(\left(\frac{\omega_0}{\lambda}\right)^{J-1/2}\right)$$

試行状態 $|\Psi'\rangle$ を次のように定義する。

$$|\Psi'\rangle = \sum_{m>0} \int dx \psi_m(x) |m, x\rangle - \sum_{m<0} \int dx \psi_m(x) |m, x\rangle$$

性質 $\Pi |\Psi'\rangle = -|\Psi'\rangle, \quad \langle \Psi_0 | \Psi'\rangle = 0.$

基底状態とのエネルギー差 $\Delta E'$ を求めると

$$\begin{aligned}\Delta E' &:= \langle \Psi' | \hat{H} | \Psi' \rangle - \langle \Psi_0 | \hat{H} | \Psi_0 \rangle \\ &= \omega_0 \sqrt{J(J+1) + \frac{1}{4}} \int dx \psi_{\frac{1}{2}}(x) \psi_{-\frac{1}{2}}(x) \\ &= \omega_0 \sqrt{J(J+1) + \frac{1}{4}} \times O\left(\left(\frac{\omega_0}{\lambda}\right)^{N-1}\right)\end{aligned}$$

$\Delta E := E_{1\text{st ex.}} - E_{\text{g.s.}}$ とすると

$$\Delta E \leq \Delta E' = \omega_0 \sqrt{J(J+1) + \frac{1}{4}} \times O\left(\left(\frac{\omega_0}{\lambda}\right)^{N-1}\right)$$

$N \rightarrow \infty$ で、 ΔE が指数的に閉じていく

$$|+\rangle = \frac{1}{\sqrt{2}}[|\Psi_0\rangle + |\Psi_1\rangle] + \mathcal{O}\left(\frac{\omega^0}{\lambda}\right) \simeq |\Psi_0^{(-J)}\rangle$$

$$|-\rangle = \frac{1}{\sqrt{2}}[|\Psi_0\rangle - |\Psi_1\rangle] + \mathcal{O}\left(\frac{\omega^0}{\lambda}\right) \simeq |\Psi_0^{(+J)}\rangle$$

固有状態の**適当な**重ね合わせで対称性を破る状態が作れる！

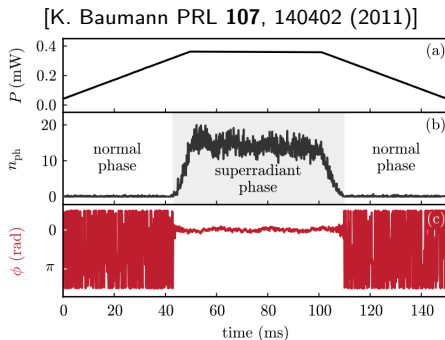
$|\Psi(t=0)\rangle = |+\rangle$ として、時間発展を考えると

$$|\langle +|\Psi(t)\rangle|^2 = \cos^2 \frac{\Delta Et}{2}, \quad |\langle -|\Psi(t)\rangle|^2 = \sin^2 \frac{\Delta Et}{2}$$

コヒーレント状態の間を周期 $T = \frac{2\pi}{\Delta E}$ で振動する。

$$T = \mathcal{O}\left(\left(\frac{\lambda}{\omega_0}\right)^{N-1}\right) \quad N \text{ 大} \rightarrow \text{周期 } T \text{ 大 (実験 } N \simeq 2 \times 10^5)$$

なぜ重ねあわせ状態が生まれるのか



λ_c 付近で非断熱的な遷移が生じると考えると
重ね合わせが生じる理由を説明できる

$|+\rangle$ や $|-\rangle$ という特別な重ねあわせが特別に現れる理由は？

散逸と測定の影響

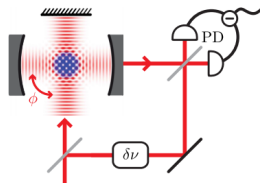
$|\Psi_0\rangle, |\Psi_1\rangle$ の線型結合を初期条件とすると、状態の時間発展は

$$|\Psi(t)\rangle = c_+(t)|+\rangle + c_-(t)|-\rangle$$

で有効的に記述できる \rightarrow 2 状態近似

$$\hat{H}_{\text{eff}} = \begin{pmatrix} 0 & -\frac{\Delta E}{2} \\ -\frac{\Delta E}{2} & 0 \end{pmatrix} = -\frac{\Delta E}{2} \hat{\sigma}^{(1)}$$

考慮すること： フォトンの散逸 + **連続測定**



[K. Baumann PRL **107**, 140402 (2011)]

設定

- Δt の間に共振器から光子が出てきて測定が起きる確率 $= \gamma \Delta t$
- $\hat{x} = \frac{\hat{a} + \hat{a}^\dagger}{\sqrt{2\omega}}$ の正負を測る (現実より単純な測定)

測定による状態変化 ... Kraus 演算子

$$\hat{M}_+ = \sqrt{\gamma \Delta t} \hat{P}_+, \quad \hat{M}_- = \sqrt{\gamma \Delta t} \hat{P}_-, \quad \hat{M}_0 = \sqrt{1 - \gamma \Delta t}$$
$$\left(\hat{P}_+ = \int_0^\infty dx |x\rangle\langle x|, \quad \hat{P}_- = \int_{-\infty}^0 dx |x\rangle\langle x| \right)$$

状態 $\rho(t)$ の時間発展は

$$\hat{\rho}(t) \rightarrow \hat{\rho}(t + \Delta t) = e^{-i\hat{H}\Delta t} \left[\sum_k \hat{M}_k \hat{\rho}(t) \hat{M}_k^\dagger \right] e^{i\hat{H}\Delta t}$$

$\Delta t \rightarrow 0$ で Lindblad 方程式

$$\frac{d}{dt} \hat{\rho}(t) = -i[\hat{H}, \hat{\rho}(t)] - \gamma \left[\sum_{k=\pm} \hat{P}_k \hat{\rho}(t) \hat{P}_k - \hat{\rho}(t) \right]$$

ΔE は γ に比べ指数的に小さい $\rightarrow \Delta E = 0$ (実験: $\Delta E/\gamma \simeq 10^{-5000}$)

$$\frac{d}{dt} \begin{pmatrix} \rho_{++} & \rho_{+-} \\ \rho_{-+} & \rho_{--} \end{pmatrix} = -\gamma \begin{pmatrix} 0 & \rho_{+-} \\ \rho_{-+} & 0 \end{pmatrix}$$

非対角成分が消失する (位相緩和)

例) $\hat{\rho}(t=0) = |\Psi_0\rangle\langle\Psi_0| = \frac{1}{2} \begin{pmatrix} 1 & 1 \\ 1 & 1 \end{pmatrix}$

$t \rightarrow \infty$ で

$$\begin{pmatrix} \rho_{++} & \rho_{+-} \\ \rho_{-+} & \rho_{--} \end{pmatrix} = \frac{1}{2} \begin{pmatrix} 1 & 0 \\ 0 & 1 \end{pmatrix} = \frac{1}{2} |+\rangle\langle+| + \frac{1}{2} |-\rangle\langle-|$$

$\frac{\omega_0}{\lambda} \ll 1$ では...

- 固有状態は散逸と測定に対して安定ではない。
- 適当な線形結合をとった $|\pm\rangle$ が安定。対称性を破る。
 \rightarrow 実験で観測される2つの状態に対応

まとめ

- 粒子数 N 有限の場合での Dicke model についての厳密な結果
 - ▶ $\lambda \neq 0$ なら基底状態に縮退なし
→ SSB なし
 - ▶ 基底状態 $|\Psi_0\rangle$ と第一励起状態 $|\Psi_1\rangle$ の適当な重ね合わせ
→ 対称性を破る状態 $|\pm\rangle$
 - ▶ N の増加に伴って指数的にエネルギーギャップが閉じる
→ 振動の長周期化
- 散逸と測定の影響
 - ▶ 対称性を破る状態 (\neq 固有状態) が安定化